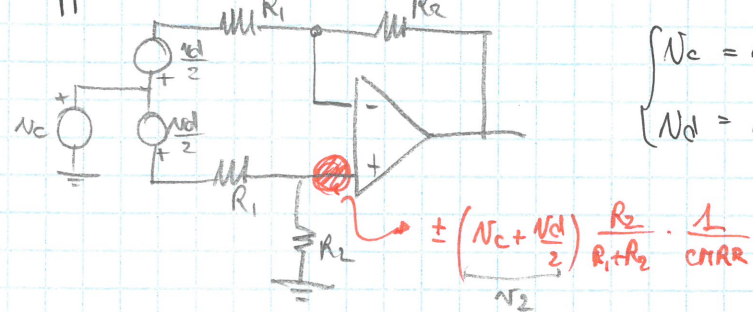


Rappresento il circuito con N_d e N_c :



$$\begin{cases} N_c = \frac{N_c + N_d}{2} \\ N_d = \frac{N_c - N_d}{2} \end{cases}$$

$$V_{out} = N_d \cdot \frac{R_2}{R_1} \pm \left(N_c + \frac{N_d}{2} \right) \frac{R_2}{R_1 + R_2} \cdot \frac{1}{CMRR} \left(1 + \frac{R_2}{R_1} \right) \text{ no separo } N_d \text{ e } N_c$$

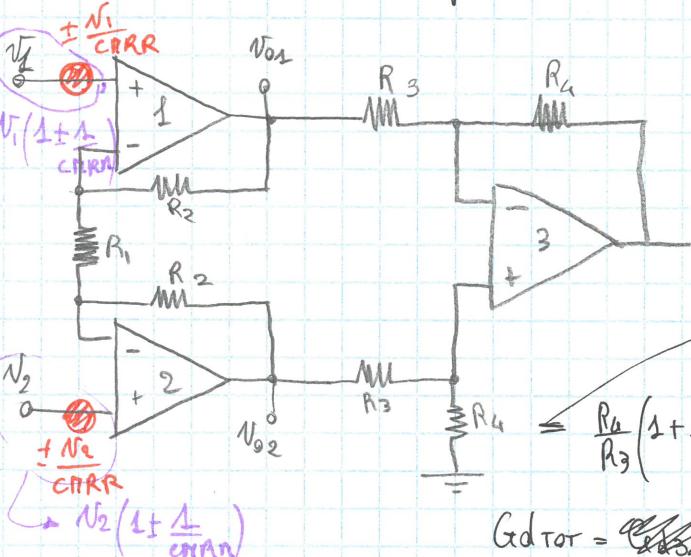
$$= N_d \left(\frac{R_2}{R_1} \pm \frac{1}{2} \cdot \frac{1}{CMRR} \frac{R_2}{R_1 + R_2} \cdot \frac{R_1 + R_2}{R_1} \right) \pm N_c \left(\frac{R_2}{R_1 + R_2} \right) \frac{1}{CMRR} \cdot \frac{R_1 + R_2}{R_1} =$$

$$= N_d \cdot \frac{R_2}{R_1} \left[1 \pm \frac{1}{2} \cdot \frac{1}{CMRR} \right] \pm N_c \left(\frac{R_2}{R_1} \cdot \frac{1}{CMRR} \right) \quad CMRR_{TOT} = \frac{G_{diff}}{G_c} = \frac{\frac{R_2}{R_1} \cdot 1 \pm \frac{1}{2} \cdot \frac{1}{CMRR}}{\frac{R_2}{R_1} \cdot \frac{1}{CMRR}}$$

$CMRR_{TOT}$, trascurando $\pm \frac{1}{2CMRR}$ (valore molto piccolo, è circa 0,5%) allora

$$CMRR_{TOT} = \frac{\frac{R_2}{R_1} \left(1 \pm \frac{1}{2} \cdot \frac{1}{CMRR} \right)}{\frac{R_2}{R_1} \cdot \frac{1}{CMRR}} \approx CMRR$$

Calcoliamo ora il CMRR per l'amplificazione straumentazione $H_p: CMRR_{opamp_1} = CMRR_{opamp_2} = CMRR_{opamp_3} = CMRR$



$$V_{out} = \left[N_2 \pm \frac{N_3}{CMRR} - N_1 \mp \frac{N_1}{CMRR} \right] \frac{R_1 + 2R_2}{R_1} \cdot \frac{R_4}{R_3}$$

$$N_2 = N_c + N_d/2 \quad N_1 = N_c - \frac{N_d}{2} \quad \text{perciò}$$

$$V_{out} = \frac{R_4}{R_3} \left(1 + \frac{2R_2}{R_1} \right) \left[\left(N_c + \frac{N_d}{2} \right) \left(1 \pm \frac{1}{CMRR} \right) - \left(N_c - \frac{N_d}{2} \right) \left(1 \mp \frac{1}{CMRR} \right) \right]$$

$$= \frac{R_4}{R_3} \left(1 + \frac{2R_2}{R_1} \right) \left[N_d \left(1 \pm \frac{1}{CMRR} \right) + N_c \left(1 \pm \frac{1}{CMRR} \right) - N_c \left(1 \mp \frac{1}{CMRR} \right) \right]$$

$$G_{d,TOT} = \frac{G_{d1} \cdot G_{d2} \cdot G_{d3}}{G_{c,TOT}} = G_{d3} \left(1 + \frac{2R_2}{R_1} \right) \left(1 \pm \frac{1}{CMRR} \right)$$

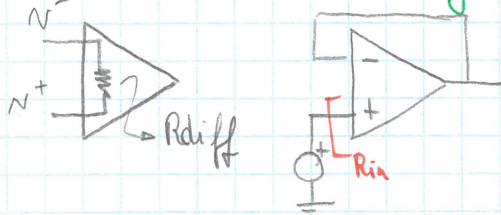
$$G_{c,TOT} = 1 \cdot G_{c3} \approx$$

$$CMRR_{TOT} = \left| \frac{G_{d,TOT}}{G_{c,TOT}} \right| = \left(1 + \frac{2R_2}{R_1} \right) \left(1 \pm \frac{1}{CMRR} \right) \left| \frac{G_{d3}}{G_{c3}} \right| \xrightarrow{\text{trascurro}} CMRR_{opamp_3} = \left(1 + \frac{2R_2}{R_1} \right) \cdot CMRR_{opamp_3}$$

Perciò ha senso avere grande guadagno in ingresso e sfruttare opamp 3 solo per fare la differenza perché abbiano forte dipendenza del CMRR dell'opamp 3.

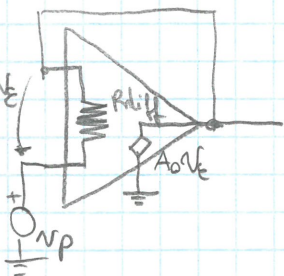
Se ↑ guadagno studio ingresso, ↑ CMRR_TOT

Effetto resistenza di ingresso finita



$$R_{in} \Big|_{\text{ideale}} \rightarrow \infty$$

Vediamo il buffer con R_{in} finita:



$$R_{in} = \frac{N_p}{i_p} \quad i_p = \frac{N_e}{R_{diff}} = \frac{N_p - A_0 N_e}{R_{diff}} \quad N_e = N_p - A_0 N_e \quad N_e = \frac{N_p}{1 + A_0}$$

$$i_p = \frac{N_p \left(1 - \frac{A_0}{1 + A_0} \right)}{R_{diff}} \quad R_{in} = R_{diff} (1 + A_0)$$

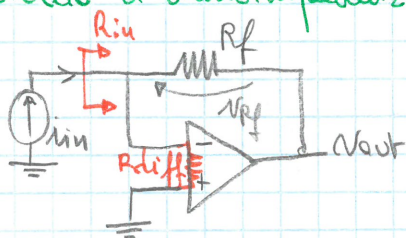
$\hookrightarrow 1 - G_{loop}^*$

$R_{diff} = R_{in}^0$ è la resistenza vista a retroazione spenta (con $A_0 \approx 0$)

Quindi la resistenza viene aumentata dalla retroazione per tentare di idealizzarla il più possibile. Il gen controllore vuole mandare i_p a zero. Il risultato è fare tendere $N_e \rightarrow 0$. Infatti se i_p tendesse a zero $R_{in} = \frac{N_p}{i_p \rightarrow 0} \rightarrow \infty$

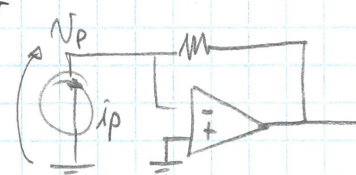
Quindi la resistenza infinita è legata alla retroazione, e non al fatto che lo fisicamente $R_{in} \rightarrow \infty$. La retroazione fa di tutto per idealizzare l'impedenza.

Stadio a transimpedenza



Il workspace Θ è virtual ground, perciò iin fluisce su Rf
perciò $N_{out} = -N_{rf} = -i_{in} R_f$

$$\frac{N_{out}}{i_{in}} \Big|_{\text{ideale}} = -R_f$$



~~Se avessi Rdiff~~ Calcolo R_{in} : $G_{loop} = -\frac{R_{diff}}{R_{diff} + R_f} \cdot A_o$

$R_{in} \Big|_{\text{ideale}} = 0$ è un ottimo collettore di corrente, si bene qualsiasi corrente

Applica ora il gen di corrente di prova:

$$N_e = -N_p \quad i_p = i_{diff} + i_f \rightarrow i_{diff} = -\frac{N_e}{R_{diff}} = \frac{N_p}{R_{diff}} \quad i_f = \frac{N_p - A_0 N_e}{R_f} = \frac{N_p (1 + A_0)}{R_f}$$

$$i_p = N_p \left[\frac{1}{R_{diff}} + \frac{1 + A_0}{R_f} \right] \quad R_{in} = \frac{N_p}{i_p} = \frac{1}{\frac{1}{R_{diff}} + \frac{1 + A_0}{R_f}} = \frac{R_{diff} \cdot R_f}{R_f + R_{diff} + A_0 R_{diff}} - \frac{R_f R_{diff}}{(R_f + R_{diff}) \left(\frac{1 + A_0}{R_f} + \frac{1}{R_{diff}} \right)}$$

$$= R_f // R_{diff} \cdot \frac{\frac{1}{1 + A_0 \frac{R_{diff}}{R_f + R_{diff}}}}{1 - G_{loop}^*} \quad \sim R_{in} = \frac{R_{in}^0}{1 - G_{loop}^*}$$

Calcolo di una resistenza in un circuito retroazionato

1. Rideale?

Ⓐ Rideale $\rightarrow \infty$ La retroazione controlla la tensione nel ramo

Ⓑ Rideale $\rightarrow \infty$ = " " " corrente " "

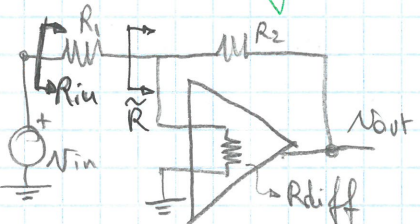
2. Applico il gen di prova: caso Ⓐ gen corrente di prova
 " Ⓑ " tensione di prova

3. Calcolo la resistenza vista a retroazione spenta $\rightarrow A_0 = 0$ e il G_{loop}^*

(Qss: se il gen di prova è sbagliato, il G_{loop} calcolato risulta nullo)

4. Calcolo la resistenza vista R come: Ⓐ $R = \frac{R^*}{1 - G_{loop}^*}$, Ⓑ $R = R^* (1 - G_{loop}^*)$

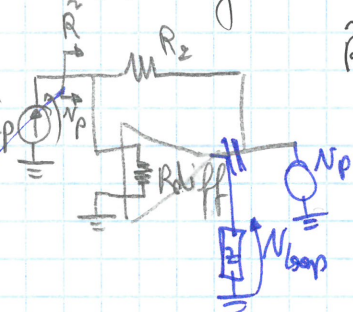
Resistenza di ingresso in configurazione invertente



È ovvio che $R_{in|ideale} = R_s + 0$ in cui 0 è la resistenza

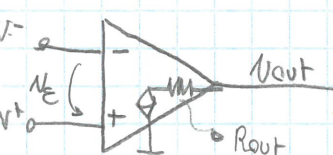
~~R~~ \tilde{R} ideale che è quella del circuito a transimpedenza.

Infatti R_i non fa parte dell'anello. Ora posso procedere nel calcolare \tilde{R} , resistenza che "potrebbe essere" 0 o ∞ per gli step di calcolo menzionati prima. Nel nostro caso $\tilde{R}|_{ideale} = 0 \rightarrow$ retroaz controlla la tensione, perciò inserisco un gen di prova di corrente.



$$\tilde{R}^* = R_{diff} // R_2, \text{ calcolo } G_{loop}^* = -\frac{R_{diff} \cdot A_0}{R_{diff} + R_2}$$

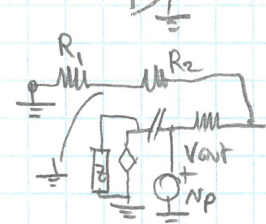
Resistenza di uscita non nulla



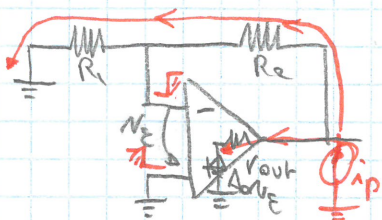
Prendiamo un configurazione come nel non invertente per analizzare gli effetti:

$$G_{ideale} = \left(1 + \frac{R_2}{R_1}\right) \text{ ma cambia niente, invece ho variazioni in } G_{loop}$$

$$G_{loop} = \frac{-R_1}{R_1 + R_2 + r_{out}} \cdot A_0$$



Vediamo di calcolare ora la resistenza vista in uscita.



La tensione d'uscita resta fissa in tensione.

$$R_{out} \xrightarrow{\text{ideale}} R_{out} = \frac{R_L}{1 - G_{loop}}$$

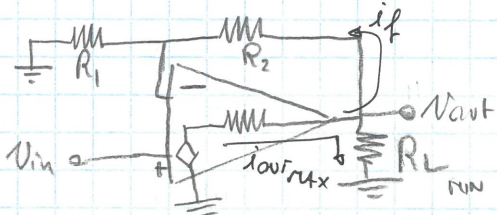
$$R_{out} = R_{out} \parallel (R_1 + R_2) \approx R_{out} \text{ perché dominante (è di valore molto piccolo)}$$

G_{loop}^* = G_{loop} non è cambiato l'anello durante il calcolo

Limitazione della corrente di uscita di un opamp

Finora non ci siamo preoccupati della corrente erogabile. Nella realtà l'uscita è un source follower, quindi abbiamo una corrente limitata. Inoltre spesso c'è un circuito di protezione che limita la corrente max dissipabile per evitare rottura.

Questo lim di corrente è espresso nel datasheet dell'opamp in termini del minimo valore di resistenza di carico con segnali "a piena potenza".

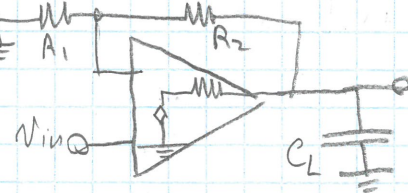


$$i_{out}|_{MAX} = i_{R_L} + i_f = \frac{V_{out}|_{MAX}}{R_L|_{MIN}} + \frac{V_{out}|_{MAX}}{R_L + R_e}$$

generalmente $i_{R_L} \gg i_f$ quindi viene trascurato i_f .

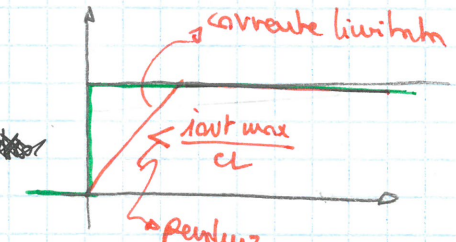
Con questa trascurazione bisogna tenere che $i_{out|_{MAX}}$ sarà meno di quella reale, con i_f .

Vediamo sul carico capacitivo:



$i_{out} = i_f + i_{C_L} = \frac{V_{out}}{R_1 + R_2} + C_L \frac{dV_{out}}{dt}$ ad dire che c'è una corrente max vuol dire che c'è una pendenza max di V_{out}

$$\frac{dV_{out}}{dt}|_{MAX} \leq \frac{i_{out|_{MAX}}}{C_L}$$

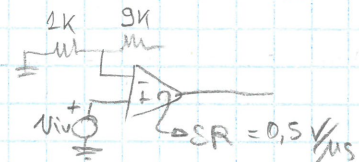
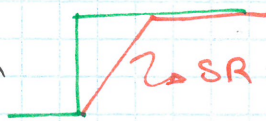


Supponendo la banda dell'opamp infinita, con un gradino in ingresso il condensatore si carica con:

Steer-rate

$$SR = \frac{dV_{out}}{dt}|_{MAX} \text{ tipicamente } 0,5 \text{ V/us} \div 1000 \text{ V/us} \text{ ed è la limitazione}$$

della pendenza in uscita



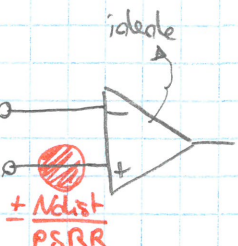
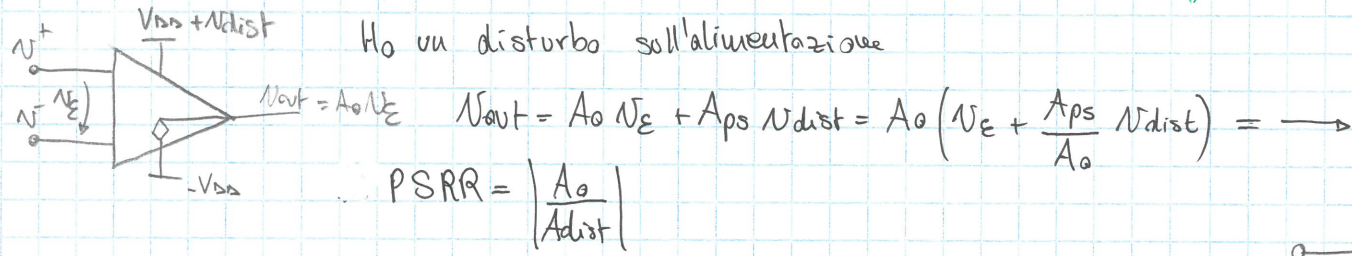
$$\text{Nei datasheet } V_{out} = A_{out} \sin \omega t \quad \frac{dV_{out}}{dt}|_{MAX} = A_{out} \cdot \omega \cos \omega t|_{MAX} = A_{out} \cdot \omega = A_{out} \cdot 2\pi f$$

Larghezza di banda a piena potenza

$$f_{MAX} = \frac{SR}{A_{out}|_{MAX} \cdot 2\pi}$$

$V_{DD} = \pm 5V$ $C_{in} = 500 pF$ $f_{MAX} = 338 kHz$
 $f = 10 kHz$ e $f = 20 kHz$
 con lo steer-rate verifica l'imp. per non avere distorsioni

Rapporto di reiezione della tensione di alimentazione (Power supply Rejection Ratio - PSRR)



Config inverteente con impedenze generalizzate

$$V_{out}(s) = -\frac{z_2}{z_1} \cdot V_{in}(s) \quad T(s) = -\frac{z_2}{z_1} \sim \frac{V_{out}(s)}{V_{in}(s)}$$

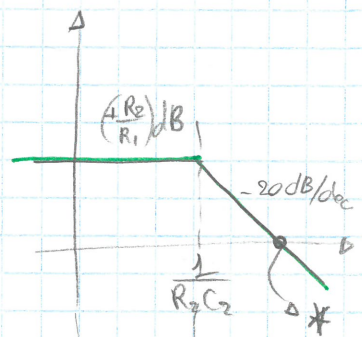
OS:

$$T(s) = -\frac{z_2}{z_1} = \frac{-R_2}{1 + s R_2 C_2} = \frac{-R_2}{R_1 (1 + s R_2 C_2)}$$

$$T(0) = -\frac{R_2}{R_1} \quad \tau_{pole} = R_2 \cdot C_2$$

$$|T(j\omega)| = \frac{R_2}{R_1} \sqrt{\frac{1}{1 + \omega^2 R_2^2 C_2^2}}$$

$$|T(j\omega)|_{dB} = 20 \log_{10} \frac{R_2}{R_1} \sqrt{\frac{1}{1 + \omega^2 R_2^2 C_2^2}}$$



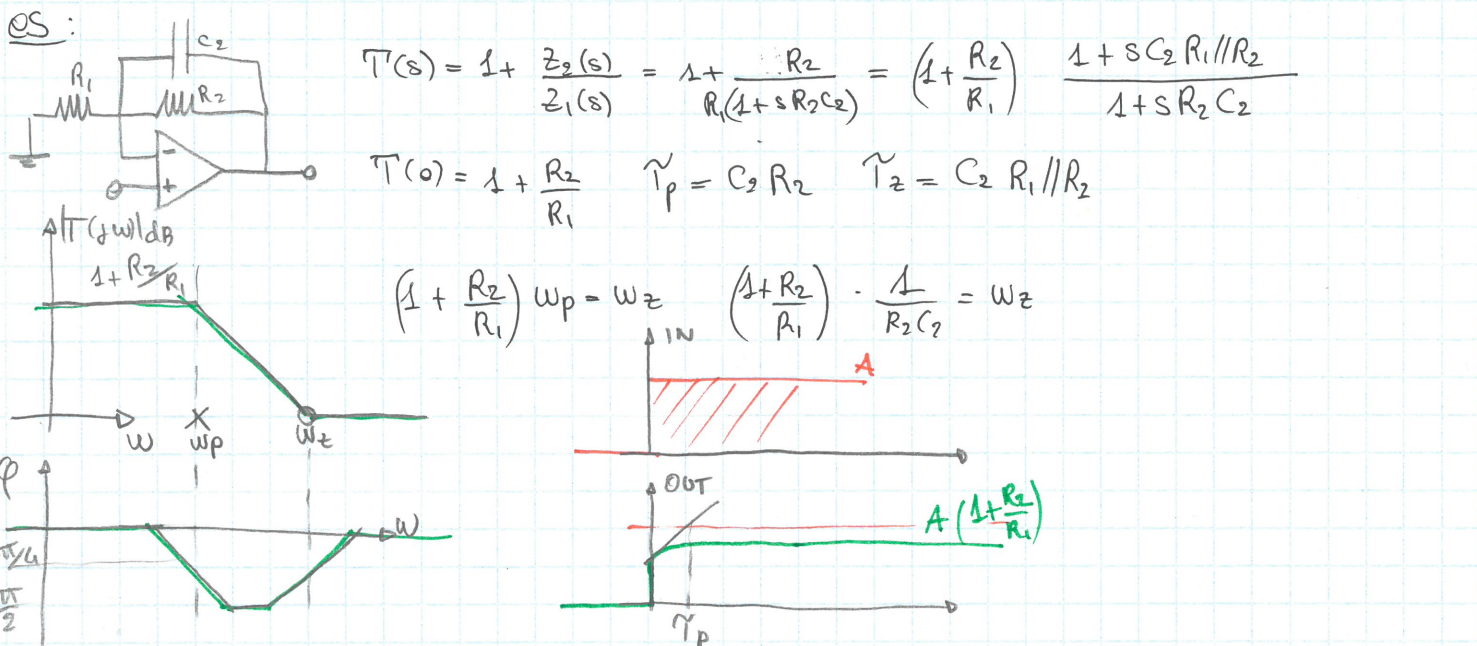
$$\angle T(j\omega) = -180^\circ - \arctg(R_2 C_2 \omega)$$

$$|T(j\omega)|_{dB} = \begin{cases} \omega \ll \frac{1}{R_2 C_2} & \rightarrow 20 \log_{10} \frac{R_2}{R_1} \\ \omega = \frac{1}{R_2 C_2} & \rightarrow 20 \log_{10} \frac{R_2}{R_1} \cdot \frac{1}{\sqrt{2}} \\ \omega \gg \frac{1}{R_2 C_2} & \rightarrow 20 \log_{10} \frac{R_2}{R_1} \cdot \frac{1}{w R_2 C_2} \end{cases}$$

$$\frac{R_2}{R_1} \cdot \frac{1}{R_2 C_2} = 2\pi f_{odB} \cdot 1 \rightarrow f_{odB} = \frac{1}{2\pi R_1 C_2}$$



$$\angle T(j\omega) = \begin{cases} \omega \ll R_2 C_2 & = -180^\circ \\ \omega = R_2 C_2 & = \pi - \frac{\pi}{4} = 45^\circ + 180^\circ = 225^\circ \\ \omega \gg R_2 C_2 & = \pi - \frac{\pi}{2} = 180^\circ - 90^\circ = 270^\circ \end{cases}$$



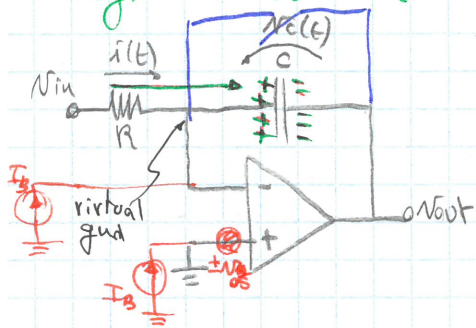
Lungo il tratto -20dB/dec del polo:

$$|T(s)| = \left| T(o) \frac{1+s\gamma_z}{s\gamma_p} \right| \sim |T(o)| \cdot \frac{1}{s\gamma_p} \quad |T(j\omega_z)| = |T(o)| \cdot \frac{1}{\omega_z \gamma_p} \quad 1 = |T(o)| \cdot \frac{1}{\omega_z \gamma_p}$$

$$\omega_z = |T(o)| \cdot \frac{1}{\gamma_p} \quad \omega_z = |T(o)| \omega_p \quad \text{il prodotto del quadrato della banda per la frequenza si causerà costante lungo il tratto } -20\text{dB/decade}$$

Se aggiungi poli, la perdita aumenta e così via

Integratore di Miller



$$i(t) = \frac{V_{in}(t)}{R} \quad Q(t) = \int_0^t i(\tau) d\tau$$

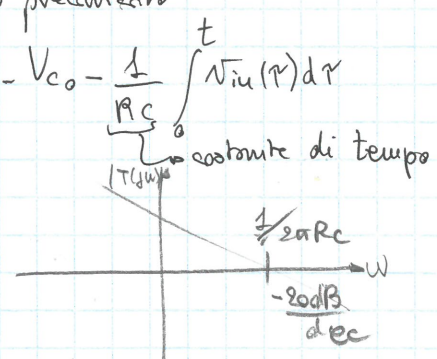
se è stato preavvicinato

$$V_{out}(t) = -V_C(t) = -V_{C_0} - \frac{Q(t)}{C} = -V_{C_0} - \frac{1}{RC} \int_0^t V_{in}(\tau) d\tau$$

costante di tempo $(T(j\omega))$

$$T(s) \stackrel{\Delta}{=} \frac{V_{out}(s)}{V_{in}(s)} = \frac{Z_2(s)}{Z_1(s)} = -\frac{1}{sRC}$$

$$Z_2(s) = \frac{1}{sC} \quad Z_1(s) = R \quad |T(j\omega)| = \frac{1}{\omega RC}$$



Questo è ideale, perché abbiamo sempre un segnale di ~~uscita~~ uscita reale

ha sempre una componente DC, perciò l'opamp saturerebbe subito. In DC infatti il condensatore è circuito aperto \Rightarrow NO RETROAZIONE \Rightarrow OPAMP campionatore. Possiamo usare un interruttore ideale

che si apre per $t=0^+$. Possiamo le correnti di Bias e i gen di offset.

le I_B per $t < 0$ sono danni effetto, mentre abbiamo un config di buffer per V_{os}



Perciò condiz iniz sul condensatore è $V_{C_0} = V_{os}$ $V_{out} = \pm V_{os} + \dots$

Per $t=0^+$, I_B carica il condensatore a corrente costante \rightarrow rampa $i_C = C \frac{dV}{dt}$

$$V_{out} = \pm V_{os} - \frac{I_B}{C} t = \frac{V_{os}}{RC} t$$

contributo V_{os} per $t < 0$ contributo $\frac{I_B}{C} t$ contributo $\frac{V_{os}}{RC} t$

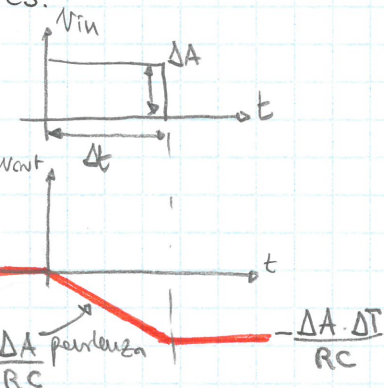
$$\begin{cases} R = 10k\Omega \\ C = 100\mu F \\ V_{os} = 15mV \\ I_B = 100\mu A \\ V_A = 10V \end{cases} \quad \begin{cases} \text{calcolo } \Delta t \text{ per cui } V_{out}(t) = V_A \\ \Delta t = \frac{V_A - V_{os}}{I_B} = \frac{10 - 15}{100} = 10\mu s \end{cases}$$

Abbiamo l'uscita saturata entro i 10us, tempo troppo piccolo.

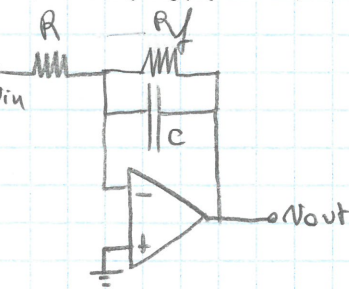
Possiamo però mettere un interruttore che si apre solo per integrare. Apro e chiudo con frequenza molto maggiore rispetto a quella legata al Δt di saturazione.

Possiamo vedere la mia integrazione in poche finestre di tempo. Oppure, posso fare in modo (lo vediamo dopo) di sommare i segnali DC sulla retroazione.

es:

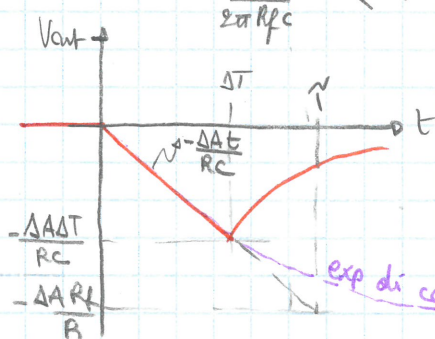
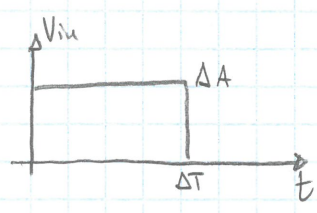


Considero ora la retroazione in continua con l'integr. di Miller modificato



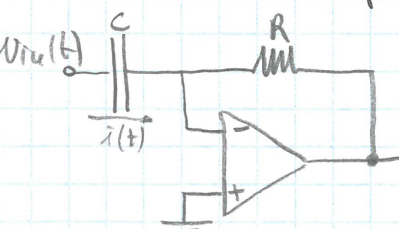
$$T(s) = -\frac{R_f}{R} \frac{1}{1+sR_f C} \quad \text{per la DC } G = -\frac{R_f}{R}$$

Vorrei R_f molto grande per avere idealità, ma non voglio un guadagno DC troppo alto.
Devo fare un compromesso



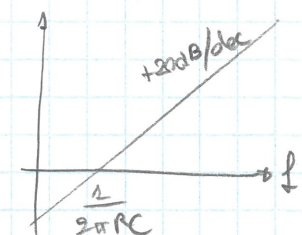
Abbiamo un ~~verso~~ versante AC come esponentiale

Dominio



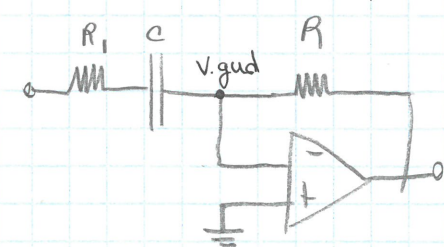
$$\text{dau-tempo } i(t) = C \frac{dV_{in}(t)}{dt}$$

$$N_{out} = -i(t) \cdot R = -\frac{1}{RC} dV_{in}(t)$$



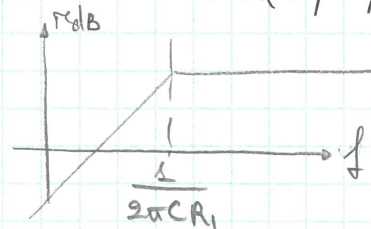
Se parlo un segnale ad alta frequenza \rightarrow saturo

Perciò anche se ho LF per V_{in} , ho comunque rumore HF in V_{in} nella realtà \rightarrow saturazione l'amp



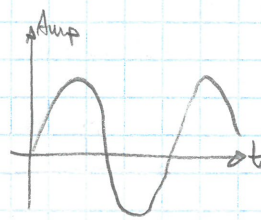
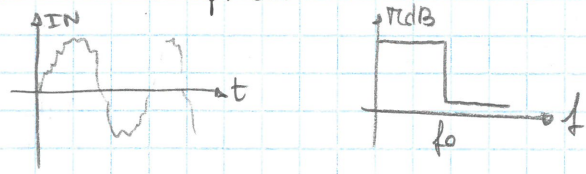
$$z_1 = R_1 + \frac{1}{SC} \quad z_2 = R \quad T(s) = \frac{-SCR}{1+SCR_1}$$

Non fa altro che il filtro passa alto

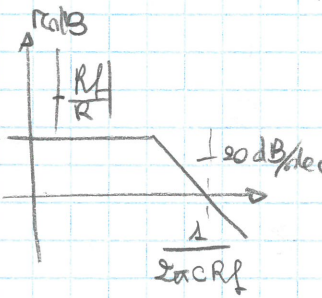


Filtri del primo ordine

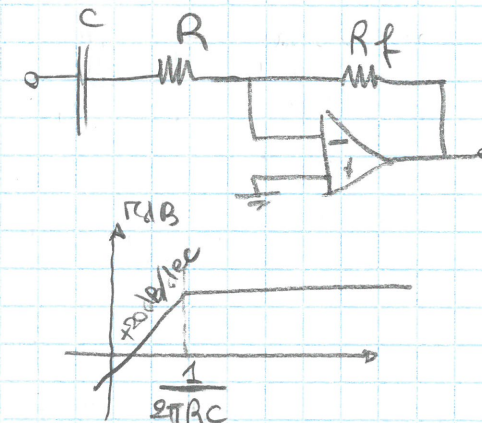
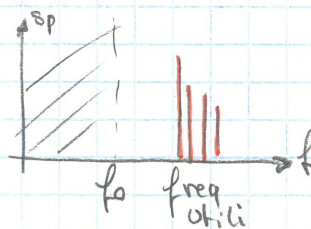
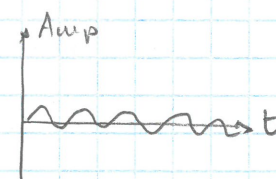
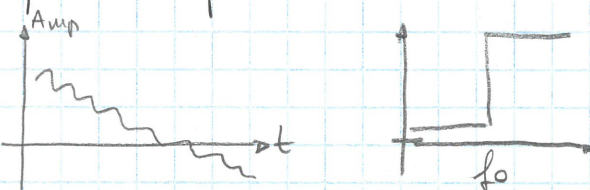
- Passa basso: preservo LF



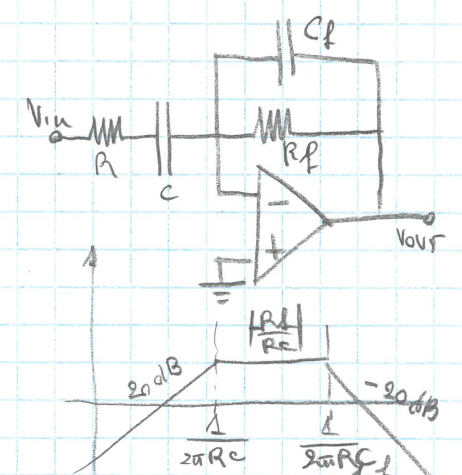
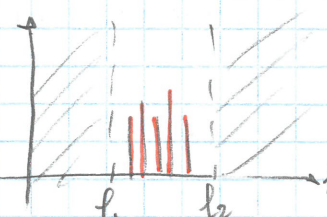
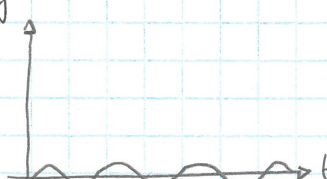
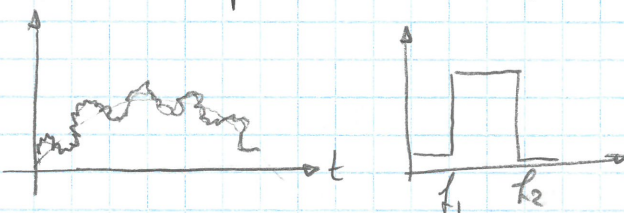
spettro



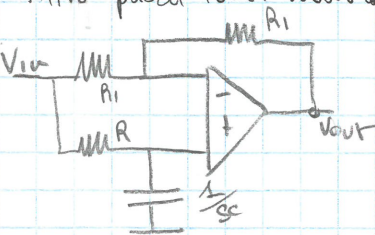
- passa alto: preservo HF



- passa banda: preserva medie frequenze tagliando HF e LF



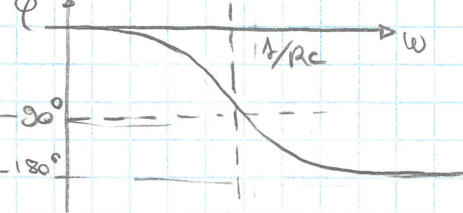
- filtro passa tutto: module costante un esempio in fase



considero separatamente V_{in} al terminal + e al -

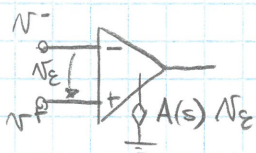
$$V_{out}(s) = \frac{1/sC}{1/sC + R} V_{in}(s) \left(1 + \frac{R_1}{R_2} \right) - \frac{R_1}{R_2} V_{in}(s) \Rightarrow T(s) = \frac{1}{1+sRC} - 1 = \frac{1-sCR}{1+sRC}$$

Cou il passatutto ha sia un polo che uno zero. I contributi della fase sono -45° per lo zero (zero con $\Re s > 0$) e -45° per il polo (polo con $\Re s < 0$)



Il modulo rimane costante per la cancellazione che è venuta a crearsi.

Risposta in frequenza dell'ampli operazionale



Come fatto $A(s) \cdot V_{in}$? L'opamp è composto da transistor \Rightarrow ha capacità parassita (in blu) \rightarrow singolarità irreversibili. Per non avere problemi con le capacità parassite, inserisco un polo dominante tale che il residuo sia < 1 nel polo della 1^a singolarità irreversibile.

È il progettista che inserisce volontariamente il polo dominante, perciò $A(s) = \frac{A_0}{1+sT_0} = \frac{A_0 w_0}{s+w_0}$ $w_0 = \frac{1}{T_0}$

A_0 = guadagno DC ed anello aperto w_0 = pulsazione del polo ed anello aperto dell'opamp

Il datasheet non fornisce né A_0 , né w_0 ma fornisce il Gain Bandwidth Product (GBWP)

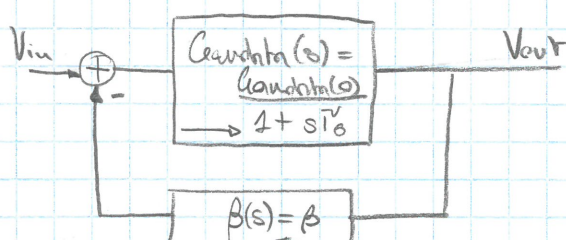
$$|A(fw)| = \frac{A_0}{\sqrt{f + \frac{w^2}{w_0^2}}} \approx \frac{A_0 w_0}{w} \text{ per } w \gg w_0$$

$|A(fw)| = 1 \quad 1 = \frac{A_0 w_0}{w}$
 $w = A_0 w_0 = \text{GBWP}$

Perciò se il polo si avvicina, per mantenere $\text{GBWP} = \text{cost}$, allora $\uparrow A_0$

Effetto della retroazione sulla banda

Considero il seguente schema abbastanza:



$$\begin{aligned}
 T(s) &= \frac{\text{Gforward}(s)}{1 - G\text{loop}(s)} = \frac{\frac{\text{Gforward}(0)}{1 + sT_0}}{1 + \frac{\text{Gforward}(0) \cdot \beta}{1 + sT_0}} = \frac{\text{Gforward}(0)}{1 + \frac{\text{Gforward}(0) \cdot \beta}{1 + sT_0}} \\
 &= \frac{\text{Gforward}(0)}{1 + (\text{Gforward}(0) \cdot \beta)} \cdot \frac{1}{1 + \frac{sT_0}{1 + (\text{Gforward}(0) \cdot \beta)}} = \\
 &= \frac{\text{Gforward}(0)}{1 - \cancel{\text{Gforward}(0)\beta}} \cdot \frac{1}{1 + s \frac{T_0}{1 - \cancel{\text{Gforward}(0)\beta}}} = \frac{1}{1 + s \frac{T_0}{1 - G\text{loop}(0)}}
 \end{aligned}$$

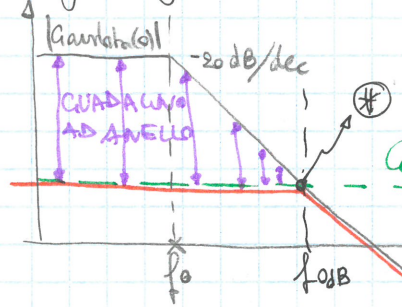
Nel circuito non retroazionato: guadagno: $\text{Gforward}(0)$
polo con: T_0

" " " che è " : guadagno: $\text{Gforward}(0) / 1 - G\text{loop}(0)$ \rightarrow guadagno ridotto
polo con: $T_0 / 1 - G\text{loop}(0)$ \rightarrow frequenza del polo aumentata di tanto quanto la riduzione del guadagno

Se considero il prodotto guadagno-polo
Perciò se aumenta il guadagno ad anello:

↓ guadagno DC ↑ banda

per esempio, il buffer è il circuito con la banda più larga di tutti perché il suo guadagno ad anello è il più alto delle configurazioni.



$$20 \log |G(jw)| = 20 \log |G_{\text{load}}(jw)| - 20 \log |1 - G_{\text{loop}}(jw)|$$

$$G_{\text{loop}}(s) = -G_{\text{load}}(s) \quad f_o = \frac{1}{2\pi w_o} \quad 20 \log |G_{\text{load}}(jw)| - 20 \log |G(jw)| = 20 \log |1 - G_{\text{loop}}(jw)|$$

$$G_{\text{loop}}(s) = -G_{\text{load}}(s) \quad \beta(s) = -G_{\text{load}}(s) / G_{\text{ideal}}(s)$$

$$G_{\text{load}}(s) = -G_{\text{ideal}}(s) \cdot G_{\text{loop}}(s)$$

$$20 \log |G_{\text{load}}(jw)| = 20 \log |G_{\text{ideal}}(jw)| + 20 \log |G_{\text{loop}}(jw)|$$

$$\textcircled{*} \quad |G_{\text{loop}}(jw)| = 1 \quad \text{perché } |G_{\text{load}}(jw)| = |G_{\text{ideal}}(jw)|$$

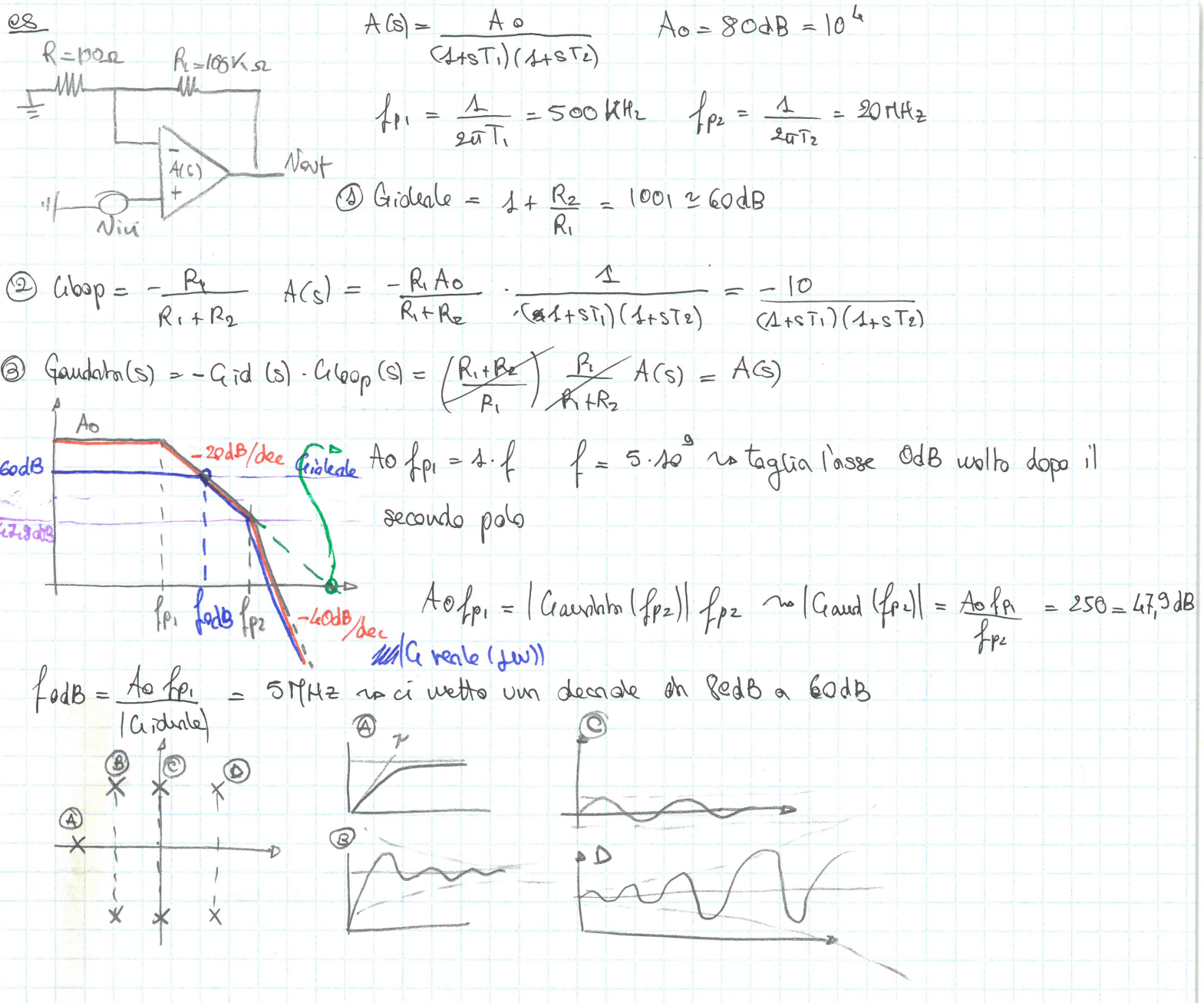
però, sapendo $G(s) = \frac{G_{\text{load}}(s)}{1 - G_{\text{loop}}}$ si ammette il denominatore. Se si ammette un polo, allora abbiamo un polo, quindi è il polo in cui G_{loop} taglia 0 dB

$$|G(jw)| = \frac{|G_{\text{load}}(jw)|}{|1 - G_{\text{loop}}(jw)|} \quad |G(jw)|_{\text{dB}} = |G_{\text{load}}(jw)|_{\text{dB}} - |1 - G_{\text{loop}}(jw)|_{\text{dB}}$$

Fintanto che $1 - G_{\text{loop}}$ è grande, il circuito è ben retroazionato, guadagno id e quello reale differiscono solo per l'errore statico → in pratica sono sovrapposti.

Dopo il taglio, il modulo di G_{reale} inizia a diminuire, vedi il grafico

$$\frac{1 - G_{\text{loop}}(s)}{2\pi w_o} = f_{\text{dB}} \quad \text{dopo il polo } G_{\text{loop}} < 1 \rightarrow \text{non abbiamo più la buona retroazione} \\ \text{perciò } G_{\text{reale}} \rightarrow G_{\text{loop}} \quad (\text{e diminuiscono assieme})$$

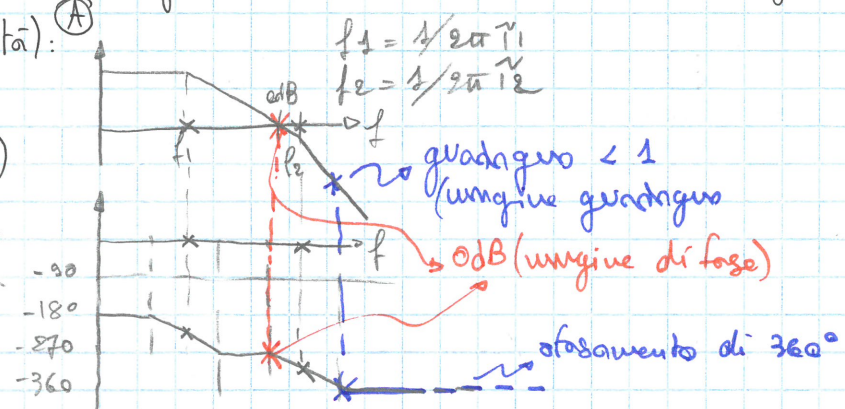


Criteri di Bode per la stabilità

Dobbiamo analizzare i casi in cui il segnale di ritorno sia in fase con il segnale originale (questo creerebbe instabilità):

$$G_{loop}(s) = G_{loop}(0) \cdot \frac{1}{(1+sT_1)(1+sT_2)}$$

Se ho uno sfasamento, ho un'oscillazione che si sostiene ($|G_{loop}|=1$), una che si smarza ($|G_{loop}|<1$) o una che si autoincarna ($|G_{loop}|>1$)?



Dove guardare congiuntamente fase e modulo per autorizzare la stabilità.

Il quadrianto a sfasamento di 360° , è il margine di guadagno.

Per un circuito stabile, il margine di guadagno deve essere $M \leq 1$

Il margine di fase è il valore per cui il guadagno è 0dB e $\varphi_m = \arg[G_{loop}(j\omega_{0dB})] - (360^\circ)$ nel vostro caso abbiamo 270° quindi $\varphi_m = 90^\circ$

per avere un circuito stabile non deve ancora aver raggiunto 360° , quindi $\varphi_m > 0$

A causa delle incertezze, se ho margini molto stretti, praticamente sicuramente instabilità. Andiamo a vedere le ripercussioni sulla Bode.

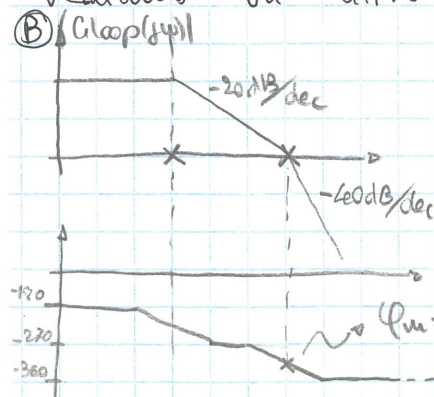
$$G_{loop}(j\omega_{0dB}) = 1 e^{j\varphi_m} \quad G_{real}(j\omega_{0dB}) = \frac{\text{Guadagno}(j\omega_{0dB})}{1 - G_{loop}(j\omega_{0dB})} \quad \text{con } \text{Guadagno}(j\omega_{0dB}) = -G_{id}(j\omega_{0dB}) G_{loop}(j\omega_{0dB})$$

$$= -\frac{G_{id}(-) \cdot 1 e^{-j\varphi_m}}{1 - e^{-j\varphi_m}} \quad \text{calcolo il moltiplicatore} \quad |G_{real}(j\omega_{0dB})| = \left| \frac{G_{id}(j\omega_{0dB})}{1 - e^{-j\varphi_m}} \right| =$$

$$\therefore \left(e^{-j\varphi_m} = \cos \theta + j \sin \theta \right) \rightarrow \left| \frac{e^{-j\varphi_m}}{1 - e^{-j\varphi_m}} \right| = \left| \frac{\cos \theta + j \sin \theta}{1 - \cos \theta - j \sin \theta} \right| = \frac{\text{modulo}}{\sqrt{(1 - \cos \theta)^2 + \sin^2 \theta}} = \frac{\sqrt{\cos^2 \theta + \sin^2 \theta}}{\sqrt{(1 - \cos \theta)^2 + \sin^2 \theta}} = 1,306 \quad \theta = 45^\circ$$

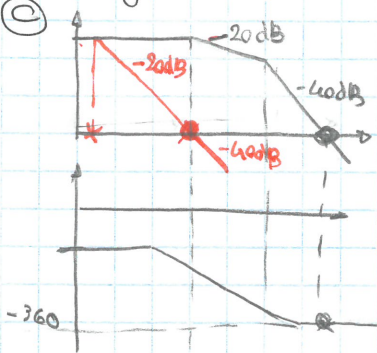
Quindi ho una diminuzione del 30% in più rispetto a quello supposto, quindi devo avere margini decenti per mantenere la stabilità. Se aumento θ (e quindi il margine di fase) la diminuzione sancisce oscillazioni praticamente trascurabili.

Vediamo un altro caso:



Guardando la singolarità, ho prima -20 dB/dec (ho un polo risultante anche se ho altri poli e zeri primi che si sono compensati) e poi ho -40 dB/dec . Questo è possibile se non ci sono zeri destri, ovvero con $\text{Re} > 0$. Il crit di Bode vale per poli/zeri a $\text{Re} > 0$.

Se taglio l'asse molto prima:



Sono già a 360° quando vado a 0dB

Penso:

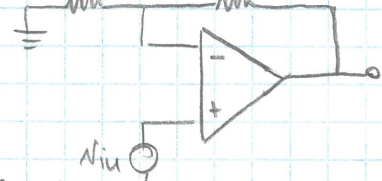
- diminuire il guadagno • inserisco un polo che compensa (compensazione a polo dominante)

Il polo riduce la banda ed anche diuso

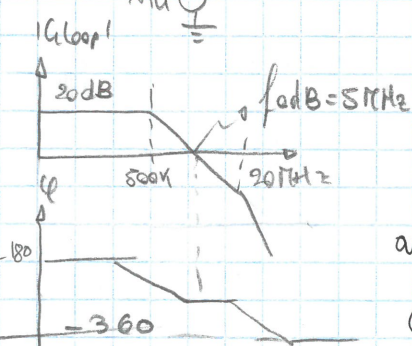
es

$$R_1 = 100\text{ k}\Omega \quad R_2 = 100\text{ k}\Omega$$

$$A(s) = \frac{A_0}{(1+sT_1)(1+sT_2)} \quad f_{p_1} = 500\text{ kHz} \quad A_0 = 8880\text{ dB}$$



$$G_{loop}(s) = \frac{-R_1}{R_1 + R_2} \cdot \frac{A_0}{(1+sT_1)(1+sT_2)} = \frac{-10^2}{10^2 + 10^5} \cdot \frac{10^6}{(1+sT_1)(1+sT_2)} = \frac{-10^4}{(-)(-)}$$



\Rightarrow circuito stabile per il criterio di Bode (perché prima

ha solo un polo che non può dare instabilità, il 2° polo deve ancora entrare in azione ma lo già tagliato 0dB)

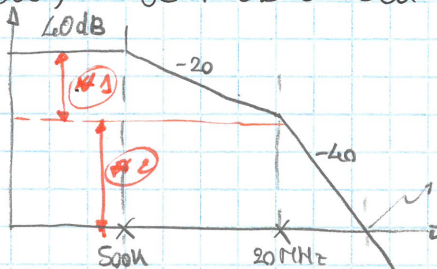
Calcolo il margine per sicurezza:

$$\arg[G_{loop}(j\omega)] = -180^\circ - \arctg\left(\frac{f_{odB}}{f_1}\right) - \arctg\left(\frac{f_{odB}}{f_2}\right) = -180^\circ - 84^\circ - 14^\circ =$$

$$\Phi_m = \arg[G_{loop}(j\omega_{odB})] - (-360^\circ) = 82^\circ \rightarrow \text{è ben stabile}$$

Vediamo con $R_2 = 10\text{ k}\Omega$

$$G_{loop}(s) = \frac{-100}{(-)(-)}$$



Abbiamo di sicuro $\Phi_m < 45^\circ$
non abbiamo speranze di avere
stabilità decente
(è molto facile che oscilli)

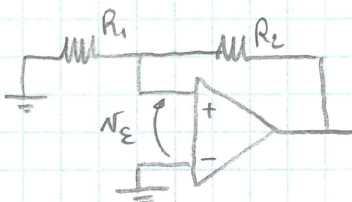
$$LQ \text{ dB} - |G_{loop}| \text{ dB} = 20 \log \frac{f_2}{f_1}$$

$$|G_{loop}| \text{ dB} - 0 \text{ dB} = 40 \log \frac{f_{odB}}{f_2} \quad \text{da } f_{odB} = -31,7 \text{ MHz}$$

$$\Phi_m = \left[-180^\circ - \arctg\left(\frac{f_{odB}}{f_1}\right) - \arctg\left(\frac{f_{odB}}{f_2}\right) \right] - (-360^\circ) = 33^\circ \text{ non sufficiente perché } < 45^\circ$$

(Ripeto: a $\Phi_m > 0$ un $\Phi_m < 45^\circ$ matematicamente è stabile, ma nella pratica le sovraccaricazioni portano grossi problemi).

Circuito bistabile - retroazione positiva

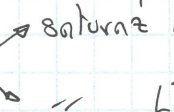


Abbiamo un retroazione positiva $L^+/-$ = saturaz positiva/negativa

$$N^+ = \frac{R_1}{R_1 + R_2} N_{\text{out}} \text{ se satura a } L^+ \text{ allora } N_{\text{out}} = L^+ \text{ e } \frac{R_1}{R_1 + R_2} = \beta$$

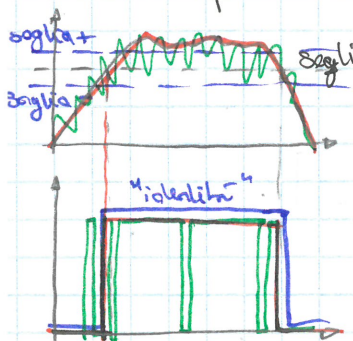
Quindi $N^+ = \beta L^+$ → è un equilibrio instabile, basta la minima perturbazione per cambiare stato.

Se compio il ragionamento opposto



saturaz L^+ → circuito bistabile

Voglio usare ciò per un circuito comparatore che sia diverso dal comparatore ad uve aperto.



Con un comparatore classico ho problemi di ruvare (verde)

Può considerare 2 soglie diverse per comparare:

Soglia 1: mi dice se il segnale crede definitivamente

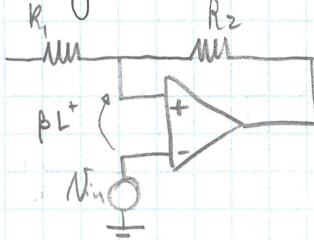
Soglia 2: mi dice se il segnale scende definitivamente

Quindi posso inserire la doppia soglia in blu:

A patto di prendere le due soglie in modo tale che siano più grandi della componente spuria, riottiengo "l'ideale" della comparazione ⇒ comparatore a isteresi:

Trigger di Schmitt

• config. invertente



Supponiamo "la storia" del comparatore, supponendo che esso stia

ad un valore L^+ o L^- . Alla condizione $N_{\text{in}} = N_E = \beta L^+$ mi aspetto un cambiamento. Appena supero βL^+ , satura a L^-

$$L^+ > 0, L^- < 0$$

[Per prima di $N_{\text{in}} = \beta L^-$ abbiamo sempre

$N_E < 0$ quindi perenne L^+

[Per $N_{\text{in}} > \beta L^-$ abbiamo $N_E > 0 \rightarrow$ sat a L^+]

Abbiamo una rappresentazione IN/OUT con ciclo d'isteresi, analizzando N_{in} decrescenti (\leftarrow) e crescenti (\rightarrow)

Come faccio a comparare segnali con offset? Come faccio a dimensionare β ?

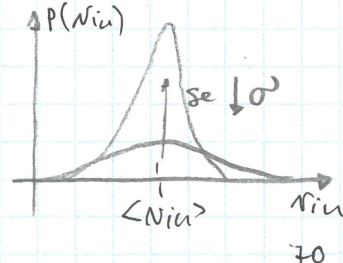
Il valore medio del ruvare è zero, devo analizzare il valore quadratico medio (così è tutta positiva e ne posso analizzare l'ampiezza). Vediamo il ruvare:

$$P(N_{\text{in}}) = \frac{1}{\sqrt{2\pi}\sigma} \exp\left(-\frac{(N_{\text{in}} - \langle N_{\text{in}} \rangle)^2}{2\sigma^2}\right)$$

probabilità

Abbiamo un campana di Gauss che mi indica l'ampiezza

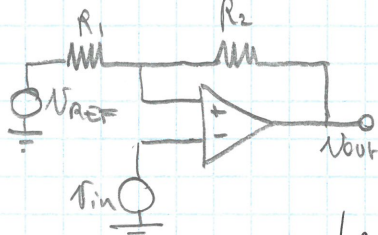
Se prendo il ciclo d'isteresi $\alpha \pm \sigma = 67\%$ di possibilità che scatti



se prendo $\pm 30^\circ = 99\%$ di possibilità che vada scatto.

Non posso allargare troppo il ciclo d'istruzione perché rischio di non poter più campanare segnali piccoli. (σ è l'ampiezza)

Potrei traslare la campanula applicando una tensione a R_1 :



Calcolo delle soglie $V_E = 0 \rightarrow V^+ = V^-$

$$V^+ = V_{out} \cdot \frac{R_2}{R_1 + R_2} + V_{REF} \cdot \frac{R_2}{R_1 + R_2}$$

La campanula si avrà per $V_{in} = L^+ \frac{R_1}{R_1 + R_2} + V_{REF} \cdot \frac{R_2}{R_1 + R_2} = V_{TH}^+$

La campanula avviene incentrata intorno a V_{TH}

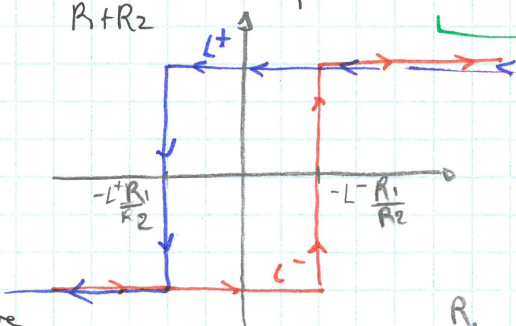
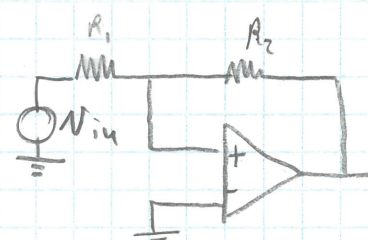
Che faccio la configurazione non invertente?

$$\text{Soglie } V^+ = V^- \rightarrow V^+ = 0$$

$$V^+ = V_{in} \cdot \frac{R_2}{R_1 + R_2} + V_{out} \cdot \frac{R_1}{R_2 + R_1}$$

Quindi se $V_{out} = L^+$: $0 = V_{in} \cdot \frac{R_2}{R_1 + R_2} + L^+ \cdot \frac{R_1}{R_2 + R_1} \rightarrow \text{semplifica} \rightarrow V_{TH} = -L^+ \cdot \frac{R_1}{R_2} < 0$

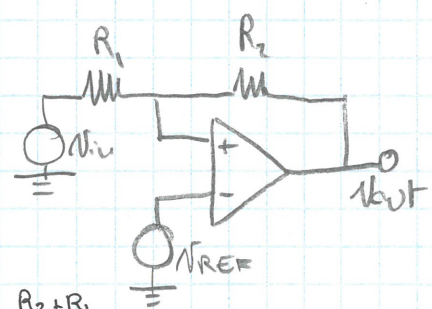
$$\text{Se } V_{out} = L^- \quad V_{TH} = -L^- \cdot \frac{R_1}{R_2} > 0$$



In questo caso, la campanula è:

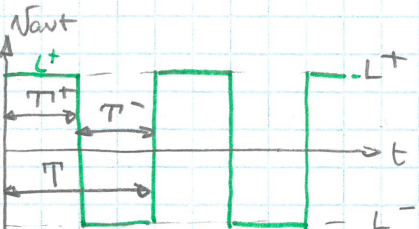
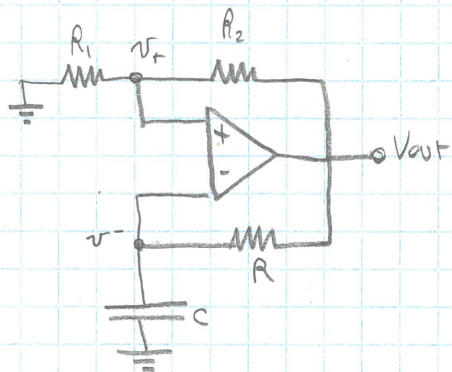
Se voglio ~~traslare~~ traslare la campanula
traslo il varsettino \ominus

$$\text{Soglie } V^+ = V^- \quad V_{in} \frac{R_2}{R_1 + R_2} + V_{out} \frac{R_1}{R_2 + R_1} = V_{REF} \text{ con } V_{out} = L^\pm$$



$$\text{L'ampiezza riuniva costante un traslo } V_{TH} = -L^- \frac{R_1}{R_2} + V_{REF} \cdot \frac{R_2 + R_1}{R_2}$$

Generatore di onde quadre



Supponiamo che in qualche modo la partenza sia L^+

$$\beta = \frac{R_1}{R_1 + R_2} \quad \gamma = RC \quad \text{Abbiamo un carico del condensatore}$$

di tipo exp con γ

Abbiamo una continua commutazione. Calcoliamo i tempi di commutazione

$$T^+: v^+(t) = L^+ - (L^+ - \beta L^-) \exp\left(-\frac{t}{\gamma}\right)$$

$$\beta L^+ = L^+ - (L^+ - \beta L^-) \exp\left(-\frac{T^+}{\gamma}\right) \rightarrow (L^+ = L^- = L)$$

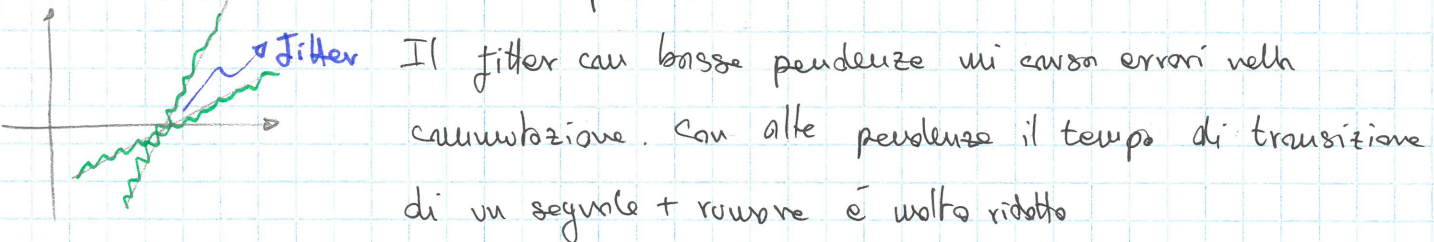
$$\rightarrow T^+ = \gamma \ln\left(\frac{\beta L^+ - L^+}{\beta L^- - L^+}\right) = \gamma \ln\left(\frac{-(\beta + 1)}{\beta - 1}\right) =$$

$$= \gamma \ln\left(\frac{1+\beta}{1-\beta}\right) \quad \beta < 1 \text{ sempre (a causa del polarizzazione)}$$

Analogamente, per $T^- = \gamma \ln\left(\frac{1+\beta}{1-\beta}\right)$ perciò $T = 2 \gamma \ln\left(\frac{1+\beta}{1-\beta}\right)$

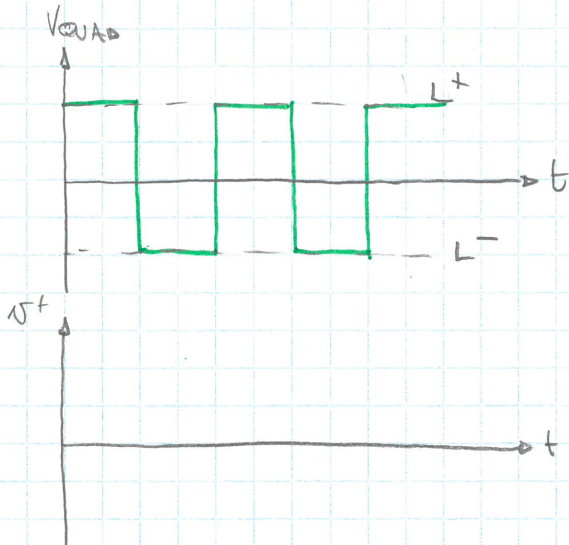
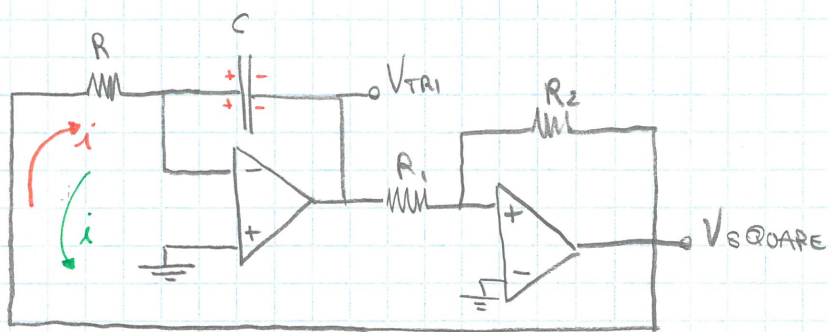
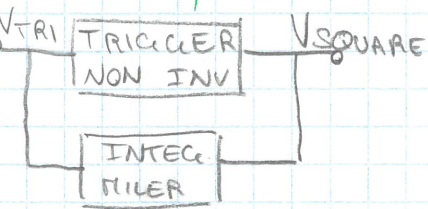
Per calcolare la freq mi basta cambiare la γ , come scelgo β ?

Se prendo β piccolo, posso approssimare l'esponeziale col su tratto lineare a un'unica pendenza, così da avere meno problemi con il ruvare



Se volessi avere una triangolare buon, devo utilizzare un integratore ideale.

Gen. di quadre e triangolari



1) L'uscita del trigger per il ruotare è a L^+ , si genera corrente $i = \frac{L^+}{R}$ (il \oplus dell'opamp 1 è v.gud)
 $V_{TH^+} = -L^+ \frac{R_1}{R_2} > 0$ $V_{TH^-} = -\frac{L^+}{R_2} \frac{R_1}{R_2} < 0$

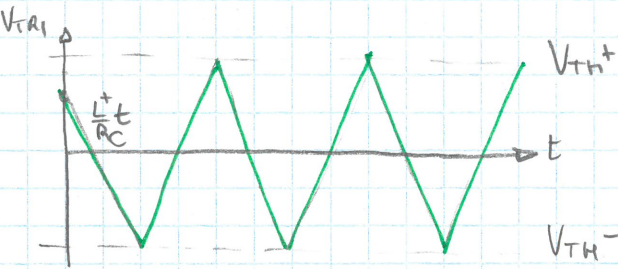
Appena l'int raggiunge V_{TH^+} con pendenza $\frac{L^+}{R_2} t$
 Abbiamo commutazione

2) L'uscita comunque a L^- e la corrente è inversa

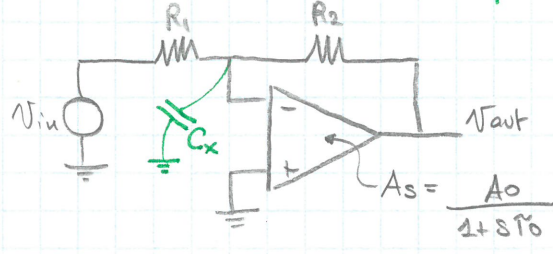
$$i = -\frac{L^-}{R}$$

$$\begin{aligned} T^+ &= \frac{V_{TH^+} - V_{TH^-}}{\frac{L^+}{R_2}} = -\frac{L^+ \frac{R_1}{R_2} + L^+ \frac{R_1}{R_2}}{\frac{L^+}{R_2}} \text{ con } L^+ = -L^- = L \\ &= \frac{\frac{R_1}{R_2} (L + L)}{\frac{L}{R_2}} = 2 \frac{R_1}{R_2} \cdot R_2 \end{aligned}$$

$$T^- = 2 \frac{R_1}{R_2} R_2 \Rightarrow T = T^+ + T^- = 4 \frac{R_1}{R_2} R_2$$



Effetto di un carico capacitivo in ingresso



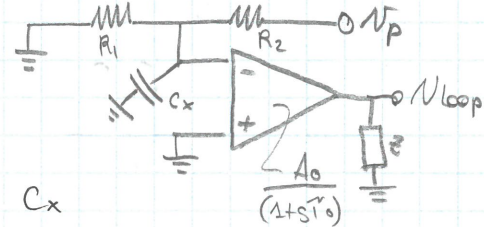
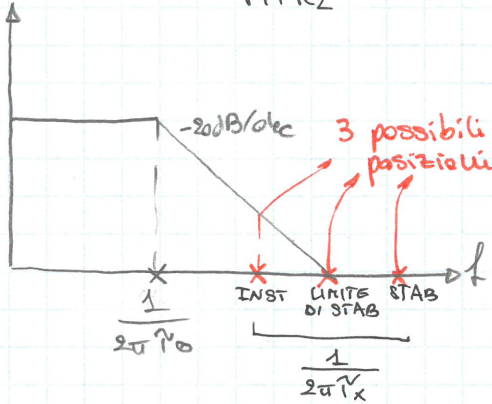
Anche se abbiamo un singolo polo, abbiamo capacità parassite che si inseriscono nel circuito.

$$G_{\text{ideale}} = -\frac{R_2}{R_1} \quad (\text{il condensatore non c'è perché sta tra gnd e v_{gnd}})$$

$$G_{\text{loop}}(s) \triangleq \frac{V_{\text{loop}}}{V_p} = G_{\text{loop}}(\omega) \frac{\frac{1}{(1+sT_p)(1+sT_x)}}{1}$$

$$G_{\text{loop}}(\omega) = -A_o \frac{R_1}{R_1 + R_2}$$

→ ho due poli ⇒ rischio inst

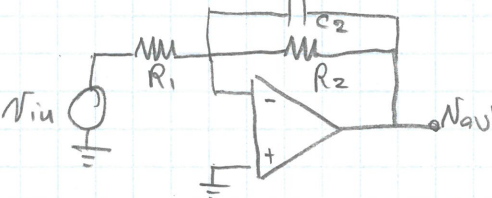


Non possiamo controllare Cx

il polo che si forma può essere in 3 zone, e può generare instabilità

$$f(x) \geq |G_{\text{loop}}(\omega)| f_0 \Rightarrow A_o f_0 \frac{R_1}{R_1 + R_2} \geq \frac{R_1 + R_2}{2\pi C_x R_1 R_2}$$

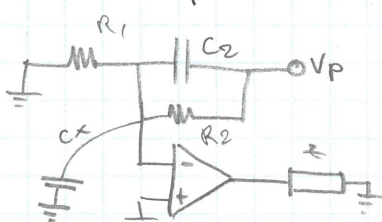
Potro attivare una compensazione polo-zero



Questa capacità (poco diminuita) mi va a modificare il guadagno ideale $G_{\text{id}}(s) = -\frac{R_2}{R_1} \cdot \frac{1}{1+sT_z} \quad T_z = R_2 C_2$

C_2 e C_x sono capacità dipendenti.

Calcolo $G_{\text{loop}}(s)$:



$$G_{\text{loop}}(\omega) = -\frac{R_1 \cdot A_o}{R_1 + R_2}$$

Traccia il diagramma di Bode del module.

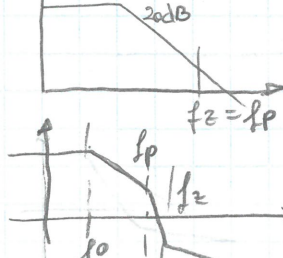
Oss: se prima $T_x = C_x (R_1 // R_2)$ ora il polo eq viene spostato un po' a sx perché $T_p = (C_x + C_2) (R_1 // R_2)$, quindi peggiora il polo per migliorare la situaz con lo zero

$$T_p = T_z \quad (C_x + C_2) \frac{R_1 R_2}{R_1 + R_2} = C_2 R_2 \rightarrow C_2 = C_x \cdot \frac{R_1}{R_2}$$



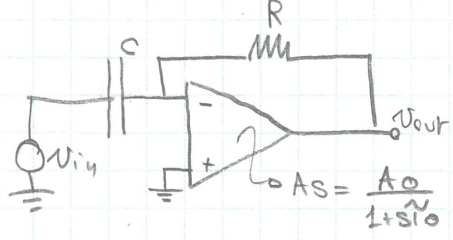
$$T_z = T_p$$

Non serve che siano uguali ma che siano vicini (la compensazione del margine di fase richiede anzi che preferibilmente $T_z > T_p$ così parte prima lo zero)



Attenzione che se $T_p > T_z$ arrivo all'instabilità le capacità parassite sono dell'ordine di $0,5 \div 2 \mu F$

Derivatore e derivatore approssimato: stabilità e compensazione



$$G_{\text{id}}(s) = sCR$$

es: $A_0 = 80 \text{dB}$ e $f_0 = 10 \text{Hz}$ $C = 10 \mu\text{F}$ $R = 10 \text{k}\Omega$

$$G_{\text{loop}}(s) = -\frac{1/sC}{(1/sC) + R} \quad A(s) = \frac{A_0}{(1+sT_0)(1+s^2f_0^2)} \rightarrow 2 \text{ poli e } 1 \text{ zero} \rightarrow \text{rischio instabilità}$$

$$f_p = \frac{1}{2\pi CR} = 1,6 \text{ kHz}$$

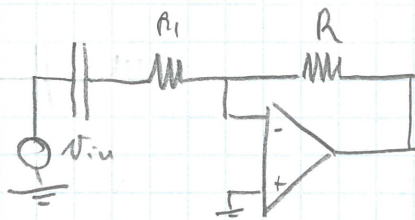
Ho 80dB a 10Hz , in 4 decadi vado a 0dB ,

perciò 0dB a 100kHz . Incontro il secondo polo prium
di tagliare l'asse \Rightarrow taglio l'asse a 40 dB/dec

$$A(f_0) = G_{\text{loop}} \times f_p \quad G_{\text{loop}} \times = 36 \text{dB} \quad f_{\text{odB}} = 10 \log \frac{f_{\text{odB}}}{f_p} \quad f_{\text{odB}} = 12,7 \text{ kHz}$$

Calcolo velocemente il margine di fase $\Phi_M = (-180^\circ - \arctg \frac{f_{\text{odB}}}{f_0} - \arctg \frac{f_{\text{odB}}}{f_p}) - (-360^\circ) = 7^\circ$

Ho un bassissimo margine \rightarrow nella pratica è instabile. \Rightarrow compensato

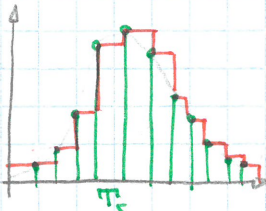
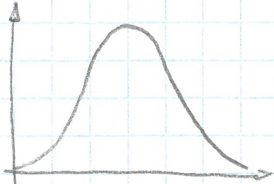


$$G_{\text{id}}(s) = -\frac{sCR}{1+sCR_1}$$

$$G_{\text{loop}}(s) = -A(s) \frac{R + 1/sC}{R_1 + R + 1/sC} = -\frac{A_0}{1+sT_0} \frac{1+sR_1C}{1+sC(R_1+R)}$$

es: $R_1 = \frac{1}{3} R$ $f_{\text{odB}} = 24 \text{ kHz}$ $\Phi_M = 79^\circ \approx$ margine eccellente.

Teorema del campionamento



T_s = sampling time

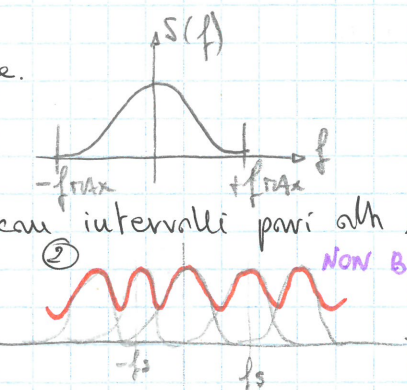
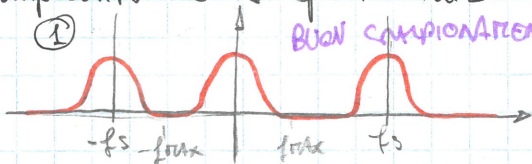
Ricostruisce il segnale a gradi



Più $\downarrow T_s$, più il campionamento approssima bene il segnale.

Supponiamo che lo spettro del segnale in questo modo:

Lo spettro del segnale campionato è lo spettro iniziale con intervalli pari alla frequenza di campionamento f_s



Quanto vicini devono essere i campioni tra loro? Se ho una giusta spaziatura, applicando un filtro PB (di ricostruzione) riottengo il segnale originale.

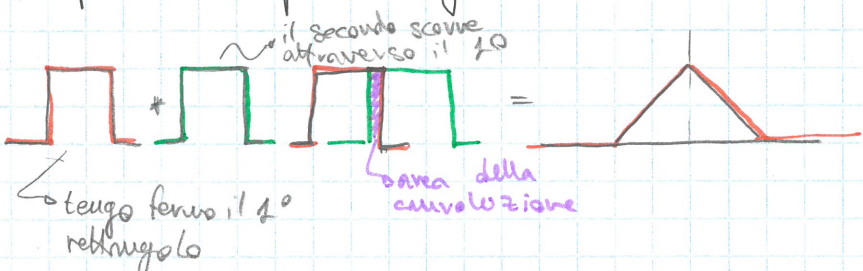
① $f_s > 2f_{\text{max}}$ ② $f_s < 2f_{\text{max}} \rightarrow$ se ricostruiamo non abbiamo più lo spettro iniziale

Abbiamo il teorema del campionamento di Nyquist-Shannon. $T_s > \frac{1}{2f_{\text{max}}}$

Il filtro ha banda pari a f_{max} , recuperando lo spettro originale.

Convoluzione

$$f(t) * g(t) \triangleq \int_{-\infty}^{\infty} f(\tau) \cdot g(t - \tau) d\tau$$



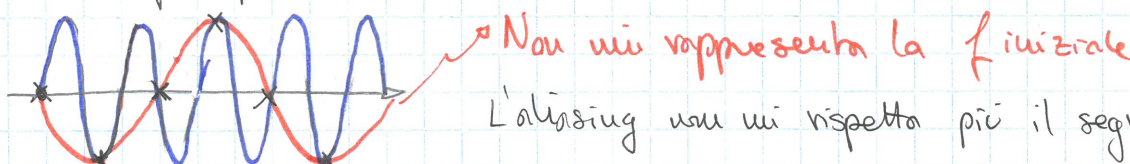
L'area blu aumenta fino alla sovrapposizione dei due rettangoli e poi cala \Rightarrow triangolo.

$$\text{Se } \text{sinc} = \frac{\sin x}{x} = \text{seno cardinale}, \text{ lo spettro ricostruito è } S_R = \sum_{n=-\infty}^{\infty} s(nT_s) = \text{sinc}\left[\pi \frac{t - nT_s}{T_s}\right]$$

n campioni f di ricostruzione

Il segnale ricostruito risulta essere distorto negli istanti iniziali

Se la $f_{\text{campionamento}}$ non è sufficientemente elevata \Rightarrow Aliasing



L'aliasing non mi rispetta più il segnale originale.

Un filtro anti aliasing serve a non far campionare delle frequenze spuri (dette di rumore) mi aiuta a prevedere problemi di aliasing in uscita.

Dovrò limitare in banda il segnale di partenza, rimuovendo rumore HF